

© 1992

## РЕЗОНАНСНОЕ ОТРАЖЕНИЕ И ПРЕЛОМЛЕНИЕ ЗВУКА НА ГРАНИЦЕ ЖИДКОСТЬ—КРИСТАЛЛ

*В. И. Альшиц, А. Н. Даринский, А. Л. Шувалов*

Теоретически исследована резонансная трансформация полного отражения звука в полное прохождение на границе жидкость—кристалл, обусловленная взаимодействием с оттекающей волной, порождаемой «быстрой» рэлеевской волной в подложке. Это явление сопровождается также эффективным возбуждением в подложке поверхностной волны. Проанализированы случаи падения плоской волны и монохроматического пучка гауссовой формы. В качестве примера проведены численные расчеты для гексагональных подложек (в частности, из ВТСП материала), граничащих с жидким азотом и жидким гелием.

Как известно, при падении акустического пучка из жидкости на границу с твердым телом под углом  $\theta \approx \theta_R \arcsin(v_f/v_R)$  ( $v_f$  — скорость звука в жидкости,  $v_R$  — скорость рэлеевской волны на свободной поверхности твердого тела) возникает явление незеркального отражения, обусловленное резонансным взаимодействием пучка с волной, оттекающей в жидкость (эффект Шоха) [1]. Теория этого явления была развита в [2] для случая, когда угол  $\theta_R$  превышает угол  $\theta_L$  полного внутреннего отражения на границе жидкость—изотропное твердое тело. Однако если подложка является анизотропной, то может оказаться, что  $\theta_R < \theta_L$  ( $v_R > v_L$  на рис. 1). Поскольку в области  $\theta < \theta_L$  наряду с отражением существует преломление, то при  $\theta \approx \theta_R < \theta_L$  следует ожидать резонансных особенностей в поведении как отраженного, так и проходящего пучка. В частности, численные расчеты для плоских волн, падающих из жидкости на кристаллические подложки различной симметрии, указывают на возможность существования резких минимумов коэффициента отражения [3, 4] (причем в силу свойств взаимности [4, 5] аналогичный эффект должен возникать и при падении звука из кристалла на границу с жидкостью).

В настоящей работе явление резонансного отражения и прохождения звука исследуется аналитически как в плосковолновом представлении, так и применительно к ограниченным пучкам. В частности, показано, что в общем случае (триклинная подложка) резкий минимум коэффициента отражения плоских волн (обращающийся в нуль при достаточно малом значении параметра  $\rho_f v_f / \rho v_R$ , где  $\rho_f$  и  $\rho$  — плотности жидкости и подложки) обусловлен взаимодействием с псевдоповерхностной волной, характеризующейся двойным оттеканием — в жидкость и в подложку. Проанализирована ситуация, возникающая при малом значении ориентации плоскости падения относительно положения, при котором она совпадала с плоскостью симметрии упругих свойств подложки. В этом случае полное отражение звука, падающего из жидкости на подложку или наоборот, может трансформироваться для резонансных углов падения в полное отражение. Кроме этого, исследованы резонансные особенности поверхностного волнового поля, возбуждаемого в подложке. В качестве иллюстрации полученные аналитические результаты конкретизированы для случая поперечно изотропной подложки.

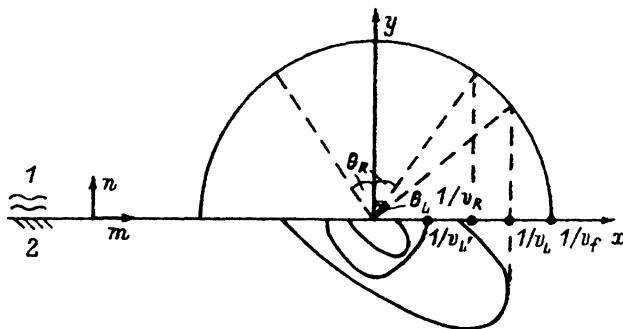


Рис. 1. Сечения поверхности медленности плоскостью падения.  
1 — жидкость, 2 — кристалл.

## 1. Плоские волны

Пусть из идеальной (невязкой) жидкости на кристаллическую подложку падает акустическая волна (для обозначения ее параметров будем использовать индекс «i» — «incident»)

$$u_i = b_r \mathcal{A}_i \exp [ik_x (x + p_i y - vt)], \quad (1)$$

где  $x = m\tau$ ;  $y = n\tau$ ;  $p_i \equiv -\text{ctg } \theta = -(\nu^2/\nu_f^2 - 1)^{1/2}$ ;  $\nu = \nu_f/\sin\theta$  — «приведенная» скорость. На границе раздела эта волна вызывает силу

$$f_i = -ik_x b_r \mathcal{L}_i n \exp [ik_x (x - vt)], \quad (2)$$

где  $\mathcal{L}_i = \rho_f \nu^2 \mathcal{A}_{iy}/p_i$ . Нормируем величины  $\mathcal{A}_{iy}$ ,  $\mathcal{L}_i$  условием  $2\mathcal{A}_{iy}\mathcal{L}_i = 1$ . Тогда

$$\mathcal{A}_{iy} = (p_i/2\rho_f \nu^2)^{1/2}, \quad \mathcal{L}_i = (\rho_f \nu_f^2/2p_i)^{1/2}. \quad (3)$$

Отраженная от границы раздела волна характеризуется параметром  $p_r = -p_i$ ; следовательно,  $\mathcal{A}_{ry} = i\mathcal{A}_{iy}$ ,  $\mathcal{L}_r = -i\mathcal{L}_i$  (для параметров отраженной волны используется индекс «r» — «reflected»). В подложке падающая из жидкости волна возбуждает три волновые моды, так что суммарное волновое поле имеет вид

$$u = e^{ik_x(x-vt)} \begin{cases} (b_r \mathcal{A}_i e^{ik_x p_i y} + b_r \mathcal{A}_r e^{ik_x p_r y}), & y > 0, \\ \sum_{\alpha=1}^3 b_\alpha A_\alpha e^{ik_x p_\alpha y}, & y < 0, \end{cases} \quad (4)$$

где  $A_\alpha$  — векторы поляризации волн в подложке. Коэффициенты  $b_r$ ,  $b_\alpha$  определяются из граничных условий.

Допустим, что плоскость падения, задаваемая векторами  $m$ ,  $n$ , совпадает в подложке с плоскостью симметрии или ортогональна оси симметрии четного порядка,<sup>1</sup> а внешняя полость рефракции на рис. 1 соответствует сдвиговой волновой ветви с поляризацией, ортогональной плоскости  $\{m, n\}$ . Рассмотрим область значений угла падения  $\theta$ , для которой  $\nu_L < \nu < \nu_L'$  (рис. 1). При этом в

<sup>1</sup> Случай несимметричной ориентации плоскости падения обсуждается в разделе 4.

подложке возникают преломленная горизонтально поляризованная волна и две неоднородные моды, локализованные на границе. Для параметров локализованных мод будем использовать индексы  $\alpha = 1, 2$  ( $\text{Im}(p_{1,2}) < 0$ ), для параметров преломленной («transmitted») волны — индекс  $\alpha = t$  (вместо  $\alpha = 3$  в формуле (4);  $p_t = -\text{ctg}\theta_t$ ,  $\theta_t$  — угол преломления). Волновое поле в подложке вызывает на границе упругую силу

$$f = \hat{\sigma}n = f_1 + f_2 + f_t \equiv -ik_x \exp[ik_x(x - vt)] \sum_{\alpha} (b_{\alpha} L_{\alpha}), \quad \alpha = 1, 2, t, \quad (5)$$

где  $\hat{\sigma}$  — тензор напряжений,  $L_{\alpha}$  — амплитуда силы, для которой принимается обычная нормировка  $[\sigma] 2A\alpha L_{\alpha} = 1$ . Граничные условия, состоящие в требовании непрерывности нормальных компонент смещений и упругих сил на границе раздела, для рассматриваемой задачи отражения—преломления в плоскости  $\{m, n\}$  можно записать в виде

$$b_t \xi_i + b_r \xi_r = \sum_{\alpha} b_{\alpha} \xi_{\alpha}, \quad \alpha = 1, 2, t, \quad (6)$$

где  $\xi_i, \xi_r, \xi_{\alpha}$  — четырехкомпонентные векторы

$$\xi_i = \begin{pmatrix} \mathcal{A}_{iy} \\ 0 \\ \mathcal{L}_i \\ 0 \end{pmatrix}, \quad \xi_r = \begin{pmatrix} \mathcal{A}_{ry} \\ 0 \\ \mathcal{L}_r \\ 0 \end{pmatrix} = i \begin{pmatrix} \mathcal{A}_{iy} \\ 0 \\ -\mathcal{L}_i \\ 0 \end{pmatrix}, \quad \xi_t = \begin{pmatrix} 0 \\ 0 \\ 0 \\ L_{tz} \end{pmatrix}, \quad \xi_{\alpha} = \begin{pmatrix} A_{\alpha y} \\ L_{\alpha x} \\ L_{\alpha y} \\ 0 \end{pmatrix}, \quad \alpha = 1, 2. \quad (7)$$

Из (7) видно, что в соответствии с требованиями симметрии вектор  $f_t$  упругой силы, связанной с горизонтально поляризованной модой, перпендикулярен векторам упругих сил остальных волновых мод. Поэтому в силу граничных условий (6) амплитуда  $b_t$  преломленной волны должна обращаться в нуль, т. е. падающая из жидкости волна испытывает полное отражение. При малом отклонении плоскости падения от плоскости  $\{m, n\}$  на угол  $\Delta\varphi$  возникает преломленная волна, амплитуда которой, вообще говоря, мала в меру малости  $\Delta\varphi$ . Однако при определенных условиях амплитуда преломленной волны резонансным образом нарастает вблизи некоторых критических значений угла падения. Как уже указывалось в начале статьи, для возникновения подобного резонанса достаточно, чтобы на свободной поверхности подложки скорость  $v_R$  двухпарциальной волны Рэлея в симметричной сагиттальной плоскости  $\{m, n\}$  превышала скорость предельной волны  $v_L$  (рис. 1). Тогда при добавлении жидкости рэлеевское волновое решение порождает решение для псевдоповерхностной волны, которая при распространении в плоскости  $\{m, n\}$  оттекает в жидкость, а при отклонении волновой нормали от плоскости  $\{m, n\}$  — оттекает и в жидкость, и в подложку. Именно взаимодействие с модой, оттекающей в подложку, приводит к резонансному нарастанию преломленной волны для углов падения  $\theta \approx \theta_1 = \arcsin(v_t/v_r)$ , где  $v_t/v_r$  — действительная часть скорости оттекающей волны (соответственно отраженная волна при этом наряду с обычным шоховским резонансом будет иметь минимум амплитуды). Данные качественные соображения лежат в основе выполненного ниже аналитического исследования.

Вернемся к задаче отражения в плоскости упругой симметрии  $\{m, n\}$ . Решая систему уравнений (6), (7), получаем для коэффициента отражения  $R = b_r/b_i$  следующее соотношение:

$$R(v) = i \frac{F(v) + \rho_f / \rho p_i(v)}{F(v) - \rho_f / \rho p_i(v)}, \quad (8)$$

где

$$F(v) = \frac{L_{1x}L_{2y} - L_{2x}L_{1y}}{\rho v^2 (A_{1x}L_{2y} - A_{2x}L_{1y})}. \quad (9)$$

В Приложении доказано, что функция  $F(v)$  является чисто мнимой. Кроме того, поскольку при  $v = v_R$  ( $v_R > v_L$ ) двухпарциальная рэлеевская волна удовлетворяет граничному условию механически свободной поверхности подложки, т. е.  $L_1 \parallel L_2$  при  $v = v_R$ , то  $F(v_R) = 0$ . Таким образом, для углов падения  $\theta$ , близких к  $\theta_R$ , из (8) следует выражение

$$R(v) \approx i \frac{v - v_R - iv'_{ff}}{v - v_R + iv'_{ff}}, \quad (10)$$

где

$$v'_{ff} / v_R = v (\rho_f v_f / \rho v_R), \quad (11)$$

$$v = -i (v_R^2 - v_f^2)^{-1/2} [dF(v)/dv]_{v=v_R}^{-1}, \quad (12)$$

$v$  — действительная константа.

При отклонении плоскости падения от симметричной ориентации  $\{m, n\}$  на некоторый угол  $\Delta\varphi$  четырехкомпонентные векторы  $\xi_\alpha = (A_{\alpha y}, L_\alpha)$ , отвечающие волновым модам в подложке, уже не содержат нулевых компонент. Поэтому для коэффициента отражения из системы (6) при  $\Delta\varphi \neq 0$  вместо выражения (8) получаем

$$R(v, \Delta\varphi) = i \frac{F(v, \Delta\varphi) + \rho_f / \rho p_i(v)}{F(v, \Delta\varphi) - \rho_f / \rho p_i(v)}, \quad (13)$$

где

$$F(v, \Delta\varphi) = \frac{[L_1 L_2 L_3]}{\rho v^2 [G_1 G_2 G_3]}, \quad G_\alpha = \begin{pmatrix} A_{\alpha y} \\ L_{\alpha x} \\ L_{\alpha z} \end{pmatrix}, \quad (14)$$

квадратные скобки обозначают детерминант матрицы, которая составлена из компонент векторов, заключенных в эти скобки. Отметим, что при  $v > v_L$  функция  $F(v, \Delta\varphi)$  является, вообще говоря, комплексной (в отличие от чисто мнимой функции  $F(v, 0) \equiv F(v)$ ; см. (9)). Допустим, что угол отклонения  $\Delta\varphi$  мал:  $|\Delta\varphi| \ll 1$ . В силу симметрии упругих свойств относительно плоскости  $\{m, n\}$  разложение функции  $F(v, \Delta\varphi)$  по  $\Delta\varphi$  содержит только четные степени. Следо-

вательно, из (13) в первом порядке малости получаем, используя вместо  $\nu$  переменную  $k_x = \omega/\nu$  (для удобства последующего интегрирования в случае волновых пакетов)

$$R(k_x, \Delta\varphi) \approx i \frac{k_x - k_l - i(k_l' - k_l'')}{k_x - k_l - i(k_l' + k_l'')} \quad (15)$$

где

$$k_l = \omega/\nu_l, \quad (k_l - k_R)/k_R = \lambda (\Delta\varphi)^2, \quad k_R = \omega/\nu_R, \\ k_l'/k_R = \eta (\Delta\varphi)^2, \quad k_l''/k_R = \nu (\rho_l \nu_l / \rho \nu_R), \quad (16)$$

$\lambda, \eta$  — действительные константы, задаваемые соотношением

$$\lambda + i\eta = \frac{[\partial^2 F(\nu_R, \Delta\varphi)/\partial\varphi^2]_{\Delta\varphi=0}}{2\nu_R [\partial F(\nu, 0)/\partial\nu]_{\nu=\nu_R}} \quad (17)$$

Полос коэффициента отражения  $k_p(\Delta\varphi) = k_l + i(k_l' + k_l'')$  задает волновой вектор оттекающей волны, порождаемой рэлеевским волновым решением в подложке и содержащей две объемные парциальные моды, одна из которых оттекает в жидкость, другая — в подложку (амплитуда последней обращается в нуль при  $\Delta\varphi = 0$ ). Поскольку всегда  $\text{Im}(k_p) > 0$  в силу энергетических соображений, то  $\nu, \eta > 0$ .

Нетрудно убедиться, что при падении горизонтально поляризованной сдвиговой волны из подложки на границу с жидкостью коэффициент отражения описывается выражением

$$\bar{R}(k_x, \Delta\varphi) \approx i \frac{k_x - k_l - i(k_l' - k_l'')}{k_x - k_l - i(k_l' + k_l'')} \quad (18)$$

т. е. рассматриваемое явление обладает взаимностью по отношению к замене падающей волны на преломленную, и наоборот. Отметим, что выражение (18) допускает предельный переход  $\rho_l \nu_l / \rho \nu_R \rightarrow 0$  (в отличие от формулы (15)). Отсюда следует, что величины  $k_l, k_l'$  в первом порядке малости совпадают с соответствующими параметрами оттекающей волны, возникающей на свободной границе подложки при отклонении волновой нормали от направления распространения рэлеевской волны.

Заметим, что в «обычной» для эффекта Шоха ситуации  $\nu_l < \nu_R < \nu_L$  (рис. 1) и при дополнительном учете поглощения ультразвука в подложке коэффициент отражения при  $k_x \approx k_R$  описывается, как известно [2], выражением того же типа, что и (15), с заменой  $k_l + ik_l'$  на  $k_R + ik_R'$ , где  $k_R'$  — параметр затухания рэлеевской волны в подложке. Коэффициент резонансного отражения от свободной границы кристалла вблизи «быстрой» рэлеевской волны ( $\nu_R \nu_L$ ; см. [7]) при учете поглощения будет также иметь аналогичную структуру, которая получается из (18) при замене  $k_l''$  на параметр диссипативного затухания оттекающей волны.

Рассмотрим коэффициент прохождения, который определим равенством  $T = b_t/b_i$ . С учетом принятой выше нормировки ( $2\mathcal{A}_i \mathcal{L}_i = 2\mathcal{A}_r \mathcal{L}_r = 2A_\alpha L_\alpha = 1$ ) имеет место соотношение  $F_{na} = (-\omega k_x/4) |b_a|^2$ ,  $\alpha = i, r, t$ , где  $F_{na}$  — нормальная ком-

понтента плотности потока энергии, связанной с соответствующей волновой модой. Таким образом,  $|R|^2 = |b_r/b_i|^2 = P_{nr}/P_{ni}$ ,  $|T|^2 = P_{nt}/P_{ni}$  и в силу непрерывности потока энергии получаем  $|R|^2 + |T|^2 = 1$ .<sup>2</sup> Из последнего равенства и формулы (15) для коэффициента  $R$  находим выражение для коэффициента  $T$  (с точностью до фазы  $\Phi$ ).

$$T(k_x, \Delta\varphi) \approx 2e^{i\Phi} \frac{(k_j k'_{j'})^{1/2}}{k_x - k_j - i(k'_j + k'_{j'})} \quad (19)$$

Отметим, что линейная зависимость амплитуды преломленной волны  $b_i$  от угла отклонения плоскости падения  $\Delta\varphi$  относительно симметричной ориентации, конечно, не противоречит требованиям симметрии. Действительно, так как вектор упругого смещения плоской волны определен с точностью до знака, то условие, накладываемое на амплитудные множители  $b_\alpha$  в силу симметрии, имеет вид  $|b_\alpha(\Delta\varphi)| = |b_\alpha(-\Delta\varphi)|$ . Очевидно, это условие для преломленной волны выполняется, поскольку  $b_i = 0$  при  $\Delta\varphi = 0$  (в отличие от рассмотренного выше случая отраженной волны, для которой  $b_r \neq 0$  при  $\varphi = 0$ ).

Согласно (13), (19), коэффициенты  $R$ ,  $T$  при заданном  $\Delta\varphi \neq 0$  резко зависят от изменения угла падения  $\theta$  вблизи  $\theta_j = \arcsin(v_r/v_i)$ : величина  $R(k_x)$ , которая при  $|k_x - k_j| \gg k'_j, k'_{j'}$  близка к единице, имеет в окрестности точки  $k_x = k_j$  ( $\Delta\varphi$ ) узкий минимум шириной порядка  $(k'_j + k'_{j'})$  (соответственно  $T(k_x)$  — такой же узкий максимум; см. рис. 2, а, б). Фазы данных коэффициентов меняются на величину порядка  $2\pi$  в указанной области. При этом экстремальные значения  $|R(k_j, \Delta\varphi)|$ ,  $|T(k_j, \Delta\varphi)|$  радикальным образом меняются в зависимости от соотношения между малыми параметрами оттекания  $k'_j$  и  $k'_{j'}$ . Действительно,  $|R| = 1$ ,  $T = 0$ , при  $k'_j = 0$ , т. е.  $\Delta\varphi = 0$ ;  $R(k_j, \Delta\varphi) = 0$ ,  $|T(k_j, \Delta\varphi)| = 1$  при значении  $\Delta\varphi$ , отвечающем равенству  $k'_j = k'_{j'}$ ; при дальнейшем возрастании  $|\Delta\varphi|$  (в рамках условия  $(\Delta\varphi)^2 \ll 1$ ) величина  $|R(k_j, \Delta\varphi)|$  вновь возрастает, а  $|T(k_j, \Delta\varphi)|$  — убывает. Таким образом, при малых поворотах  $\Delta\varphi$  плоскости падения может происходить резкая трансформация от полного отражения к полному прохождению.

Определим коэффициенты  $S_\alpha$  ( $\alpha = 1, 2$ ), характеризующие возбуждение в подложке поверхностных мод  $u_\alpha = u_\alpha e_\alpha$  при падении из жидкости волны  $u_i = u_i e_i$  ( $e_\alpha, e_i$  — единичные орты поляризации, причем  $e_\alpha$  — комплексные векторы) как отношение соответствующих амплитуд:  $S_\alpha = (u_\alpha e_\alpha^* / u_i e_i)_{y=0} = (b_\alpha A_\alpha e_\alpha^* / b_i A_i e_i)$ , где \* — знак комплексного сопряжения. При  $\theta \approx \theta_R$  и  $\Delta\varphi = 0$ , вычисляя отношение  $b_\alpha/b_i$  из системы уравнений (6), (7), повторяя рассуждения, использовавшиеся при выводе формул для коэффициентов  $R$ ,  $T$ , и учитывая принятую нормировку векторов  $A_\alpha, \mathcal{A}_j$ , получаем

$$S_\alpha \approx M_\alpha \left( \frac{\rho_r v_r}{\rho v_R} \right) \frac{v_R}{v - v_R + i v'_{j'}} \quad (20)$$

где

<sup>2</sup> Очевидно, в данном случае коэффициент отражения  $R = b_r/b_i$  одновременно характеризует отношение амплитуд:  $|R| = |u_r|/|u_i|$  (поскольку  $|\mathcal{A}_r| = |\mathcal{A}_i|$ ). С другой стороны,  $|u_r|/|u_i| = |TA_r|/|\mathcal{A}_i|$ , т. е. для вычисления отношения амплитуд необходимо домножить коэффициент  $|T|$  (см. (18)) на отношение абсолютных величин нормированных векторов поляризации  $|A_r|/|\mathcal{A}_i| = |\rho_f v_r^2 p_j / (c_{45} + p_r c_{44})|^{1/2}$  ( $c_{45}, c_{44}$  — упругие модули подложки), которое при  $v = v_R$  имеет значение порядка  $(\rho_f v_r v_R / \rho v_r^2)^{1/2}$ , где  $v_r$  — скорость преломленной волны.

$$M_\alpha = - \left\{ \frac{\rho v_R^2}{n e_\alpha \hat{c}_\alpha [m + p_\alpha(v_R) n]} \right\}^{1/2} \frac{\sqrt{2p} L_{\beta x}(v_R)}{[\partial (L_{\alpha x} L_{\beta y} - L_{\alpha y} L_{\beta x}) / \partial v]_{v=v_R}},$$

$$\alpha, \beta = 1, 2; \quad \alpha \neq \beta \quad (21)$$

— константа, имеющая, вообще говоря, значение порядка единицы ( $\hat{c}$  — тензор упругих модулей подложки). Из (20) видно, что  $|S_\alpha| \ll 1$  при  $|v - v_R| \gg v_{l'}$ ; однако если  $\theta = \theta_R$ , т. е.  $v = v_R$ , то  $|S_\alpha| \sim 1$ . Для плоскости падения, отклоненной на угол  $\Delta\varphi$  от симметричной ориентации, коэффициенты  $S_\alpha$  при  $|\theta - \theta| \ll 1$  могут быть записаны через переменные  $k_x = \omega/v$ ,  $\Delta\varphi$  в виде

$$S_\alpha(k_x, \Delta\varphi) \approx M_\alpha \left( \frac{\rho_l v_l}{\rho v_R} \right) \frac{k_R}{k_x - k_l - i(k_l' + k_{l'})} \quad (22)$$

Согласно (22), максимум амплитуды поверхностной волны, реализующийся при  $k_x \approx k_l(\Delta\varphi)$ , убывает с ростом  $|\Delta\varphi|$  (рис. 2, в).

Отметим, что, как известно [7, 8], амплитуда поверхностной волны, возбуждаемой при резонансном отражении вблизи ветви оттекающих волн на свободной поверхности кристалла, может многократно превосходить амплитуду падающей волны. В отличие от случая свободной границы в условиях, обсуждаемых в настоящей работе, величина  $|S_\alpha|$  принципиально ограничена значениями порядка единицы в силу требования непрерывности нормальных компонент упругих смещений на границе раздела. В то же время, если оттекающая волна на границе раздела двух анизотропных сред содержит поверхностные моды в обеих средах, то при резонансном отражении—преломлении указанные ограничения на величину  $|S_\alpha|$  теряют свою универсальность и коэффициент  $|S_\alpha|$  в принципе может быть большим (см. [9]). Заметим также, что в случае  $|S_\alpha| \sim 1$  потоки энергии в поверхностной волне  $P_\alpha$  могут многократно превосходить поток энергии в падающей волне, поскольку при этом  $|P_\alpha|/P_l \sim (\rho v_R / \rho_l v_l')^{1/2}$ .

## 2. Поперечно-изотропная подложка

Рассмотрим полубесконечную гексагональную среду, содержащую ось симметрии  $\mathbf{b}$  в плоскости границы. Допустим, что упругие модули кристалла  $c_{\alpha\beta}$  удовлетворяют неравенствам

$$c_{44} < c_{66}; \quad [2 - (c_{44}/c_{66})]^2 < 4 [1 - (c_{44}/c_{66})]^{1/2} [1 - (c_{44}/c_{11})]^{1/2}. \quad (23)$$

При этом, согласно [10], на свободной границе в поперечно-изотропном направлении  $\mathbf{m}$  существует решение для двухпарциальной рэлеевской волны, скорость  $v_R$  которой удовлетворяет условию  $v^{(l)} < v_R < v^{(r)}$ , где  $v^{(l)} = (c_{66}/\rho)^{1/2}$  и  $v^{(r)} = (c_{44}/\rho)^{1/2}$  — скорости поперечных объемных волн, распространяющихся вдоль  $\mathbf{m}$  и поляризованных соответственно в сагиттальной плоскости  $\{\mathbf{m}, \mathbf{n}\}$  и перпендикулярно к ней (скорость продольной волны вдоль  $\mathbf{m}$ :  $v^{(l)} = (c_{11}/\rho)^{1/2}$ ). При добавлении жидкости и отклонении сагиттальной плоскости на малый угол  $\Delta\varphi$  относительно поперечно-изотропного направления  $\mathbf{m}$  данное рэлеевское волновое решение порождает решение для волны с двойным оттеканием — в жидкость и в подложку, что в свою очередь обуславливает резонанс отражения — преломления, обсуждавшийся в предыдущем разделе. Используя результаты работ [8, 10], получаем применительно к случаю гексагональной подложки выражения для констант  $\lambda$ ,  $v$ ,  $\eta$ ,  $M_\alpha$  (см. (16), (12), (17), (21))

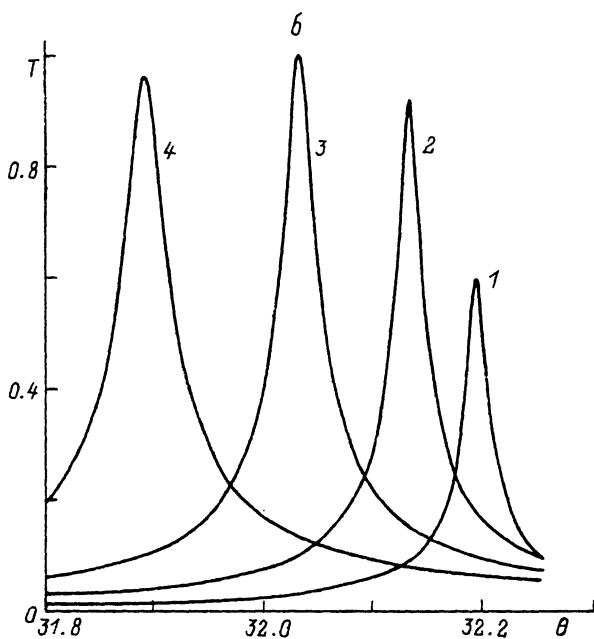
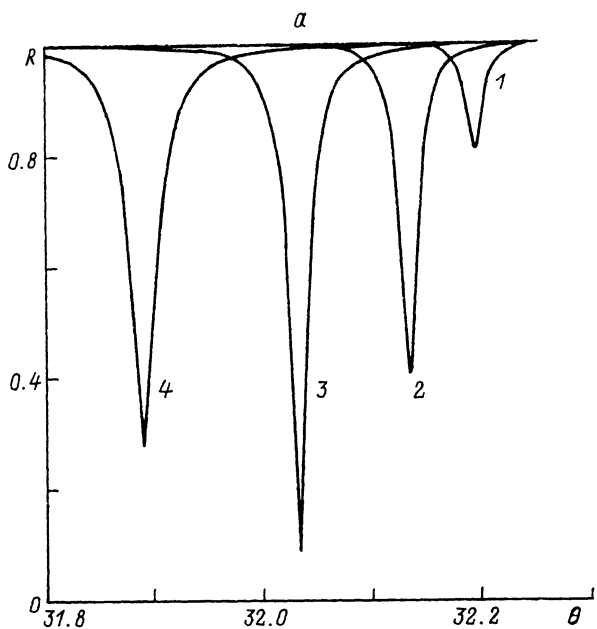


Рис. 2. Абсолютные значения коэффициентов отражения  $|R|$  (а), прохождения  $|T|$  (б) и возбуждения поверхностных волн  $|S_{1,2}|$  (в) на границе жидкий азот —  $\text{Pb}_5(\text{SiO}_4)(\text{VO}_4)_2$ .

$\Delta\varphi = 6$  (1), 12 (2), 18 (3), 24° (4). Расчетные параметры приведены в таблице. На рис. 2, в  $|M_1| = 0.68$ ,  $|M_2| = 0.27$ .



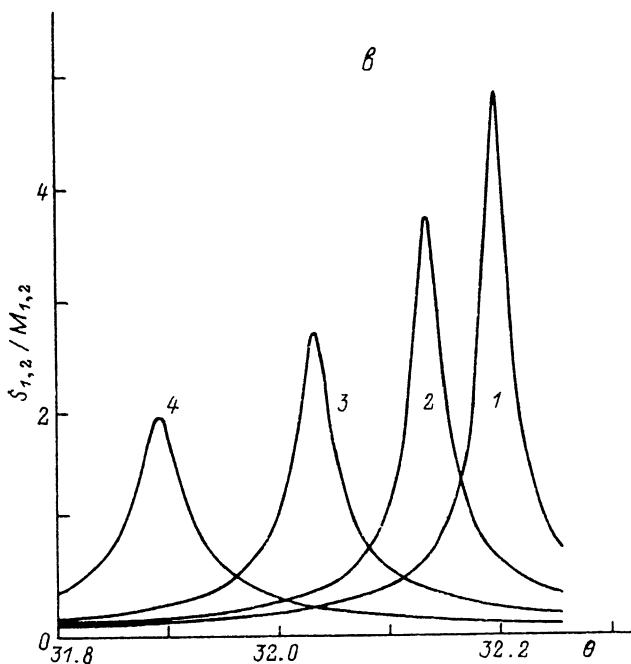


Рис. 2 (продолжение).

$$\lambda = \left[ 2 - \left( \frac{v_R}{v^{(r)}} \right)^2 \right] \left\{ \frac{c_{44}}{c_{66}} \tau (1 + \tau - \alpha) + \left[ 2 - \left( \frac{v_R}{v^{(r)}} \right)^2 \right] \times \right. \\ \left. \times (\delta_2 + \delta_3 - \rho_2 - \rho_3) \right\}, \quad (24)$$

$$\nu = \frac{(v_R / v^{(r)})^4}{v_R (\partial f / \partial v)_{v=v_R}} \left[ \frac{1 - (v_R / v^{(l)})^2}{1 - (v_f / v_R)^2} \right]^{1/2}, \quad (25)$$

$$\eta = \frac{(1 + \tau - \alpha)^2}{v_R (\partial f / \partial v)_{v=v_R}} \frac{c_{44}}{c_{66}} \left( \frac{v_R}{v^{(r)}} \right)^2 \left[ \frac{1 - (v_R / v^{(l)})^2}{(v_R / v^{(l)})^2 - 1} \right]^{1/2}, \quad (26)$$

$$M_1 = \frac{4v_R^2 [1 - (v_R / v^{(l)})^2]^{1/2}}{[v^{(r)}]^3 (\partial f / \partial v)_{v=v_R}}, \quad M_2 = \frac{2iv_R [2 - (v_R / v^{(r)})^2]}{v^{(l)} [v^{(r)}]^2 (\partial f / \partial v)_{v=v_R}}, \quad (27)$$

$$e_1 = \frac{v^{(r)}}{v_R} \left( i \begin{bmatrix} 1 - (v_R/v^{(r)})^2 \\ 1 \end{bmatrix}^{1/2} \right), \quad e_2 = \frac{v^{(l)}}{v_R} \left( -i \begin{bmatrix} 1 \\ 1 - (v_R/v^{(l)})^2 \end{bmatrix}^{1/2} \right),$$

$$f(v) = \left[ 2 - \left( \frac{v}{v^{(r)}} \right)^2 \right]^2 - 4 \left[ 1 - \left( \frac{v}{v^{(l)}} \right)^2 \right]^{1/2} \left[ 1 - \left( \frac{v}{v^{(r)}} \right)^2 \right]^{1/2},$$

$$\tau = (c_{44} + c_{13}) / (c_{11} - c_{44}), \quad \alpha = 2\tau (v^{(r)}/v_R)^2,$$

$$\delta_2 = -\lambda^- - \frac{2 - (c_{44}/c_{66})}{2 - (v_R/v^{(r)})^2}, \quad \rho_2 = \lambda^+ - 1/2,$$

$$\delta_3 = -\delta^- - \frac{2 - (\tau + 1)(c_{44}/c_{66})}{2 - (v_R/v^{(r)})^2}, \quad \rho_3 = \delta^+ - 1/2,$$

$$\lambda^\pm = \frac{1}{4} \left[ \pm 2 \left( \frac{v^{(l)}}{v_R} \right)^2 - \frac{1 - (c_{44}/c_{66})}{1 - (v_R/v^{(r)})^2} \right],$$

$$\delta^\pm = \frac{1}{4} (1 - \tau^2) \left[ \pm 2 \left( \frac{v^{(l)}}{v_R} \right)^2 - \frac{1 - (c_{44}/c_{11})}{1 - (v_R/v^{(l)})^2} \right]. \quad (28)$$

Проведенные численные расчеты (см. таблицу) выявили следующую особенность: для всех рассмотренных нами гексагональных сред в указанной геометрии константа  $\eta$  обладала численной малостью<sup>3</sup> (т. е. амплитуда оттекающей в подложку парциальной моды псевдоповерхностной волны, пропорциональная величине  $k'_l/k_R = \eta (\Delta\varphi)^2$ , имела дополнительную малость). При этом для большинства гексагональных кристаллов значение  $\eta$  получалось  $\ll 10^{-2}$ . В таком случае даже при выборе в качестве второй среды жидкого азота, обеспечивающего меньшие значения параметра  $k'_{ll}/k_R = v(\rho_l v_l / \rho v_R)$  по сравнению с «обычными» жидкостями, для  $(\Delta\varphi)^2 \ll 1$  оказывается выполненным условие  $k'_l \ll k'_{ll}$ . Как следует из результатов предыдущего раздела (см. выражения (15), (19), (22)), это условие не сказывается на эффективности возбуждения поверхностного волнового поля, однако негативно влияет на эффективность трансформации отраженной волны в преломленную<sup>4</sup> ( $|T| = 1$  при  $k'_l = k'_{ll}$ ). С этой точки зрения наиболее удачным гексагональным кристаллом среди рассмотренных нами оказался силикованадат свинца, для которого  $\eta \approx 0,1$  и  $k'_l = k'_{ll}$  при  $\Delta\varphi \approx 18,2^\circ$  (рис. 2). В то же время при использовании жидкого гелия для любых гексагональных подложек полное прохождение звука, обусловленное равенством

<sup>3</sup> Обычно это связано с малостью коэффициента  $(1 + \tau - \alpha)^2$ , возникающей за счет того, что  $c_{13} \approx c_{12}$ ,  $\rho v_R^2 \approx c_{44}$ ,  $c_{66} - c_{44} \ll (c_{11} - c_{44})$ . Заметим также, что величина  $\eta$  оказывается очень чувствительной к малым изменениям значений упругих модулей.

<sup>4</sup> Заметим, что в ходе численных исследований, проведенных в работе [4], также не удалось обнаружить глубокого минимума коэффициента отражения в тех случаях, когда рассматривались подложки гексагональной симметрии. Однако требуется проведение дополнительного исследования для ответа на вопрос, с чем это связано: с обсуждаемой здесь численной малостью параметра  $\eta$  или же с тем, что в [4] рассматривалась иная геометрия задачи (например, не было обеспечено условие близости тангенциальной проекции волнового вектора падающей волны к волновому вектору «быстрой» рэлеевской волны в подложке  $k_R = \omega/v_R$ , где  $v_R > v_L$ ; рис. 1).

Численные значения параметров, используемых при расчете резонансного отражения—преломления для гексагональных подложек, граничащих с жидким азотом ( $\rho_f = 0.81 \cdot 10^3$  кг/м<sup>3</sup>,  $v_f = 942$  м/с) и с жидким гелием ( $\rho_f = 0.12 \cdot 10^3$  кг/м<sup>3</sup>,  $v_f = 220$  м/с)

Подложка	$\nu_R$ , м/с	$\lambda$	$\eta$	$\nu$		$k'_{if}/k_R$	
				азот	гелий	азот	гелий
Pb <sub>5</sub> (SiO <sub>4</sub> )(VO <sub>4</sub> ) <sub>2</sub> [11]	1767	-0.05	$1.1 \cdot 10^{-1}$	0.19	0.16	$1.1 \cdot 10^{-2}$	$3.4 \cdot 10^{-4}$
Pb <sub>5</sub> (GeO <sub>4</sub> )(VO <sub>4</sub> ) <sub>2</sub> [12]	1712	0.25	$2.2 \cdot 10^{-2}$	0.19	0.16	$1.2 \cdot 10^{-2}$	$3.5 \cdot 10^{-4}$
GaSe [13]	2460	1.32	$1.7 \cdot 10^{-2}$	0.17	0.16	$1.1 \cdot 10^{-2}$	$3.4 \cdot 10^{-4}$
InSe [14]	2330	1.41	$9.2 \cdot 10^{-3}$	0.16	0.15	$9.4 \cdot 10^{-3}$	$3.0 \cdot 10^{-4}$
Bi <sub>2</sub> Sr <sub>2</sub> CaCu <sub>2</sub> O <sub>8</sub> + $\delta$ [15]	1773	0.97	$5.2 \cdot 10^{-3}$	0.15	0.12	$9.6 \cdot 10^{-3}$	$2.8 \cdot 10^{-4}$
CeF <sub>3</sub> [16]	2546	0.68	$4.2 \cdot 10^{-3}$	0.15	0.14	$7.2 \cdot 10^{-3}$	$2.3 \cdot 10^{-4}$

Примечание. В первом столбце указана литература, из которой взяты данные о материальных константах соответствующих сред.

$k'_i = k'_{if}$ , реализуется для резонансного угла  $\theta = \theta_i$ , при отклонении плоскости от поперечно-изотропной ориентации на несколько градусов ( $|\Delta\varphi| \ll 10^\circ$ ; см. таблицу).

### 3. Монохроматический пучок

Получение аналитического представления для угловых зависимостей коэффициента отражения и прохождения позволяет рассмотреть обсуждаемую задачу отражения применительно к ограниченному акустическому пучку. Пусть форма монохроматического пучка, падающего из жидкости на подложку и имеющего «средний» волновой вектор  $k_i$ , описывается гауссовым распределением:  $|u_i(x_j)| = C|\mathcal{A}_i| \exp(-X_j^2)$ , где  $C$  — размерный амплитудный множитель;  $\mathcal{A}_i$  — вектор поляризации: продольной плоской волны, распространяющейся в жидкости вдоль  $k_i$ , причем его  $y$ -компонента нормирована, как и прежде, условием  $2\mathcal{A}_{iy}\mathcal{L}_i = 1$ ;  $X_j = x_j/w_j$ ;  $w_j$  — полуширина падающего пучка (рис. 3). При этом, как обычно, будем полагать выполненным условия  $k_R w_j \gg 1$ ,  $k_R w_j (v_R - v_L)/v_R \gg 1$  (последнее условие позволяет избежать сложностей, возникающих при разложении волновых параметров вблизи точки  $\nu = \nu_L$ ). Следуя стандартной процедуре

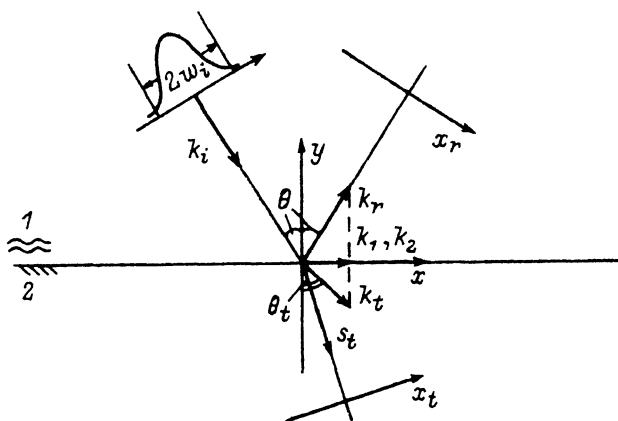


Рис. 3. Геометрия задачи отражения—преломления для пучков.

$s_t$  — «средняя» групповая скорость преломленного пучка (групповая скорость плоской волны с волновым вектором  $k_t$ ).  
1 — жидкость, 2 — кристалл.

(см. [1, 2, 7]) и используя выражения (15), (19), (22), можно найти распределения амплитуд  $|u_r|$ ,  $|u_t|$  соответственно в отраженном и преломленном пучках, а также суммарную амплитуду  $|u_1 + u_2|$  двух локализованных на поверхности подложки волновых мод, возникающих при падении пучка. Получаем

$$|u_r(X_r)| = C |1 - 2\sqrt{\pi} \kappa_r e^{x^2 - 2\gamma X_r} \operatorname{erfc}(\gamma - X_r)|, \quad (29)$$

$$|u_t(X_t)| = C_t (\rho_t v_t / \rho v_R)^{1/2} (\kappa_r \kappa)^{1/2} |e^{x^2 - 2\gamma X_t} \operatorname{erfc}(\gamma - X_t)|, \quad (30)$$

$$|u_1 + u_2|_{y=0} = C_s \kappa_r |e^{x^2 - 2\gamma X} \operatorname{erfc}(\gamma - X)|. \quad (31)$$

Здесь

$$\kappa_r = k'_{1t} w / 2, \quad \kappa = k'_{1w} w / 2, \quad w = w_i / \cos \theta = w_r / \cos \theta = w_t / \cos \theta_i,$$

$$X_r = x_r / w_r, \quad X_t = x_t / w_t, \quad X = x / w, \quad \gamma = \kappa + \kappa_t + i\mu, \quad \mu = (k_l - k_{lx}) w / 2,$$

$$C_t = 2C \sqrt{\pi \rho} v_R (1 - v_t^2 / v_R^2)^{1/4} |c_{45} + c_{44} \rho_t (v_R)|^{1/2}, \quad C_s = C |M_1 e_1 + M_2 e_2| \sqrt{\pi} / 2\gamma, \quad (32)$$

$e_\alpha$  ( $|e_\alpha| = 1$ ,  $\alpha = 1, 2$ ) — комплексные орты поляризации локализованных плоских волн, удовлетворяющих условию: волновые векторы  $k_1, k_2$  ( $k_{1,2} n = 0$ ) равны тангенциальным проекциям «средних» волновых векторов падающего, отраженного и преломленного пучков  $k_i, k_r$  и  $k_t$  (рис. 3); коэффициенты  $C_t/C$ ,  $C_s/C$ , вообще говоря, имеют значения порядка единицы.

Согласно (29)–(30), свойства отраженного и преломленного пучков, а также приповерхностного волнового поля в подложке регулируются параметром  $\mu = \operatorname{Im}(\gamma)$ , характеризующим точность попадания в резонанс, а также параметрами  $\kappa_r = k_R w \rho_t v_t / 2 \rho v_R$ ,  $\kappa = k_R w \eta (\Delta\varphi)^2 / 2$ , характеризующими соотношение между шириной пространственного спектра пучка  $\sim (k_R w)^{-1} \ll 1$  и малыми величинами  $\rho_t v_t / \rho v_R$  и  $(\Delta\varphi)^2$ . При этом параметры  $\mu$ ,  $\kappa_r$ ,  $\kappa$ , вообще говоря, могут принимать как малые, так и большие значения.

Обсудим форму распределения амплитуды в отраженном пучке (рис. 4, а). Для симметричной ориентации плоскости падения ( $\Delta\varphi = 0$ , т. е.  $\kappa = 0$  и  $u_t \equiv 0$ ) имеет место «классическое» шоховское незеркальное отражение. Реализующееся при этом волновое поле подробно исследовалось для различных значений параметров  $\kappa$ ;  $\mu$  в работах [2, 7].<sup>5</sup> Рассмотрим теперь значения  $\kappa \neq 0$ . Допустим, что  $\kappa_r < 1$  и  $|\mu| \ll 1$ . При отклонении  $\Delta\varphi$ , малом настолько, что  $|\gamma| = [(\kappa_r + \kappa)^2 + \mu^2]^{1/2} \ll 1$ , волновое поле в отраженном пучке имеет два максимума, разделенных минимумом, обращающимся в нуль при  $\mu = 0$

$$(X_r)_{\max} \approx -2\kappa_r [1 - \sqrt{\pi} (\kappa_r + \kappa)], \quad |u_r|_{\max} / C \approx 1 - 2\sqrt{\pi} \kappa_r, \quad (33)$$

$$(X_r)_{\min} \approx [\ln(1/4 \sqrt{\pi} \kappa_r)]^{1/2} + \kappa_r + \kappa, \quad |u_r|_{\min} / C \approx 8\sqrt{\pi} \kappa \mu \times$$

<sup>5</sup> Формула (29) совпадает с выражением, полученным в [7] для незеркального отражения от свободной поверхности кристалла, если в [7] поменять  $\kappa$  на  $\kappa_r$ , а в (29) положить  $\kappa = 0$ .

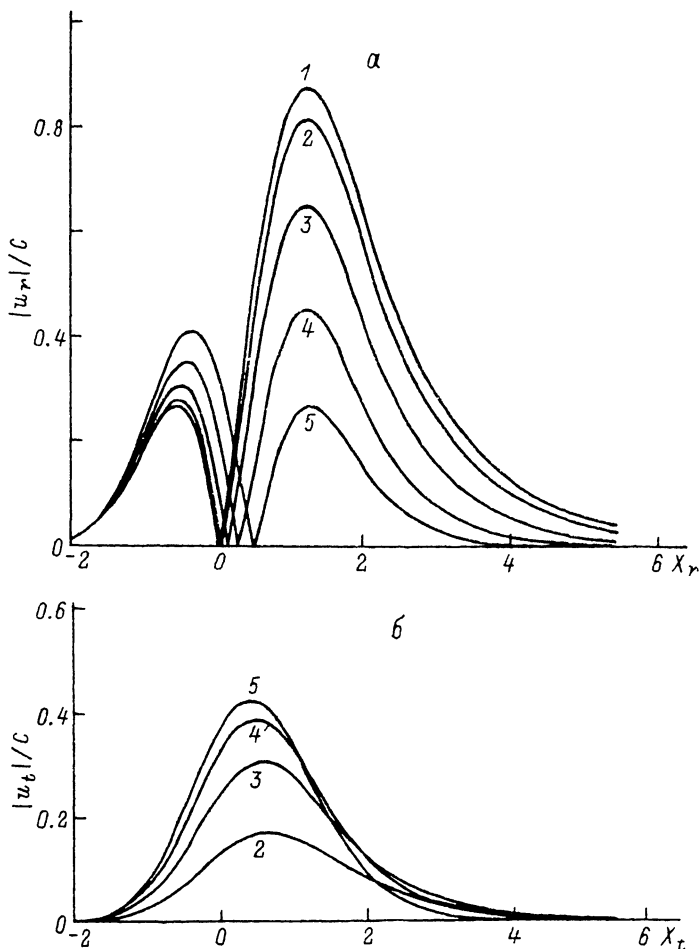


Рис. 4. Распределение амплитуды в отраженном (а) и преломленном (б) пучках для границы жидкий азот —  $\text{Pb}_5(\text{SiO}_4)(\text{VO}_4)_2$  при  $\omega = 50$  МГц,  $w = 2.5$  мм,  $\Delta\varphi = 0$  (1), 5 (2), 10 (3), 15 (4),  $20^\circ$  (5).

$$\times [\ln(1/4 \sqrt{\pi} \chi_r)]^{1/2}, \quad (34)$$

$$(X_r)_{\max 2} \approx \{ \ln [\beta_0 / 4\sqrt{\pi} \chi_r (\chi_r + \chi)] \}^{1/2} + \chi_r + \chi, \quad |u_r|_{\max 2} / C \approx 4 \sqrt{\pi} \chi_r, \quad (35)$$

где  $\beta_0$  — подгоночный параметр порядка величины. Если при возрастании отклонения плоскости падения (в рамках условия  $(\Delta\varphi)^2 \ll 1$ ) параметр  $\chi$  принимает значения  $\chi \gg 1 \gg \chi_r$ , то первый максимум исчезает, а второй возрастает, причем его боковое смещение становится малым отрицательным

$$(X_r)_{\max 2} \approx \chi_r / (\chi_r^2 - \chi^2), \quad |u_r|_{\max 2} / C \approx [(\chi - \chi_r) / (\chi + \chi_r)]. \quad (36)$$

Пусть  $\chi_r \gg 1$ ,  $|\mu| \gg 1$ . При  $(\Delta\varphi)^2$ , малом настолько, что  $\chi \ll 1$ , первый максимум расположен вблизи минимума

$$(X_r)_{\max 1} \approx (X_r)_{\min} \approx \chi - \chi_r \quad (37)$$

и имеет малую величину порядка  $\kappa_f^{-2}$ . Второй максимум описывается выражениями (36). Когда с ростом  $|\Delta\varphi|$  реализуется условие  $\kappa_f \approx \kappa \gg 1$ , положение минимума (равного нулю при  $\mu = 0$ ) по-прежнему описывается формулой (37), а точки максимумов занимают примерно симметричное положение относительно точки  $X_r = 0$

$$(X_r)_{\max 1} \approx - (X_r)_{\max 2} \approx 1/\sqrt{2}, \quad (38)$$

т. е. боковые смещения максимумов порядка ширины пучка  $w_r$ ; правда, величина максимумов амплитуды невелика

$$|u_r|_{\max 1} / C \approx |u_r|_{\max 2} / C \approx 1/\sqrt{2} e (\kappa_f + \kappa). \quad (39)$$

Если при дальнейшем возрастании отклонения  $|\Delta\varphi|$  (остающегося при этом малым настолько, что  $(\Delta\varphi)^2 \ll 1$ ) выполняется условие  $\kappa \gg \kappa_f \gg 1$ , то для экстремумов распределения амплитуды  $|u_r|$  вновь выполняются формулы (36), (37).

При достаточно большой величине параметра  $|\mu|$ , характеризующего отличие угла падения пучка  $\theta$  от резонансного значения  $\theta_r$ , волновое поле в отраженном пучке имеет один максимум (второй) с малым боковым смещением. Если  $|\mu| \gg \kappa_f + \kappa$ , то это распределение амплитуды близко к гауссовскому с максимумом  $|u_r|_{\max 2} / C \approx 1$  в точке  $(X_r)_{\max 2} \approx \kappa_f / \mu^2$ .

Рассмотрим теперь волновое поле в преломленном пучке (рис. 4, б). Зависимость  $|u_r(X_r)|$  всегда имеет единственный максимум. При  $|\gamma| = [(\kappa_f + \kappa)^2 + \mu^2]^{1/2} \ll 1$  характеристики максимума имеют вид

$$(X_r)_{\max} \approx \left\{ \ln \left[ \tilde{\beta}_0 / 2 \sqrt{\pi} (\kappa_f + \kappa) \right] \right\}^{1/2} + \kappa_f + \kappa, \\ |u_r|_{\max} / C_t \approx 2 (\rho_t v_t / \rho v_R)^{1/2} (\kappa_f \kappa)^{1/2} \quad (40)$$

( $\tilde{\beta}_0$  — подгоночный параметр порядка единицы), т. е. прошедший пучок при малой интенсивности имеет большой боковой сдвиг порядка ширины пучка  $w_r$ . Для  $|\gamma| \gg 1$  распределение  $|u_r(X_r)|$  близко к гауссовскому, при этом

$$(X_r)_{\max} \approx (\kappa_f + \kappa) / 2 [(\kappa_f + \kappa)^2 + \mu^2],$$

$$|u_r|_{\max} / C_t \approx (\rho_t v_t / \rho v_R)^{1/2} (\kappa_f \kappa)^{1/2} / \sqrt{\pi} [(\kappa_f + \kappa)^2 + \mu^2]^{1/2}. \quad (41)$$

Эффект трансформации отраженного пучка в преломленный наглядно характеризует поведение величины  $I_r$ , равной отношению полной интенсивности отраженного пучка к полной интенсивности падающего (без учета интерференционных членов; см. [2, 17])

$$I_r \equiv \int_{-\infty}^{\infty} |u_r(X_r)|^2 dX_r / \left( \int_{-\infty}^{\infty} |u_t(X_t)|^2 dX_t \right) = 1 - \\ - \frac{4\sqrt{2\pi} \kappa_f \kappa}{\kappa_f + \kappa} \operatorname{Re} [e^{2\gamma^2} \operatorname{erfc}(\sqrt{2} \gamma)]. \quad (42)$$

В симметричной ориентации ( $\Delta\varphi = 0, \chi = 0$ )  $I_r = 1$ . При условии  $|\gamma| \ll 1$  получаем

$$I_r \approx 1 - \frac{4\sqrt{2\pi} \chi_f \chi}{\chi_f + \chi}, \quad (43)$$

т. е. в этом случае при отклонении плоскости падения от симметричной ориентации (с ростом параметра  $\chi$ ) величина  $I_r$ , равнявшаяся единице при  $\Delta\varphi = 0$ , уменьшается незначительно. Если  $|\gamma| \gg 1$ , то

$$I_r \approx 1 - \frac{4\chi_f \chi}{(\chi_f + \chi)^2 + \mu^2} \left\{ 1 - \frac{(\chi_f + \chi)^2 - 3\mu^2}{2\sqrt{2} [(\chi_f + \chi)^2 + \mu^2]^2} \right\}. \quad (44)$$

В условиях точного резонанса ( $\mu = 0$ ) величина  $I_r$  принимает минимальное значение для  $\chi_f \approx \chi \gg 1$

$$I_r \approx 1/8 \sqrt{2} \chi_f, \quad (45)$$

т. е. пучок при этом почти полностью проходит из жидкости в подложку. Очевидно, что такое поведение пучков качественно объясняется проанализированными в разделе 1 свойствами коэффициентов отражения и прохождения плоских волн вблизи ветви оттекающих волновых решений. Действительно, при  $\chi, \chi_f \gg \gg 1$  пространственная ширина спектра пучка  $\sim (k_R w)^{-1}$  оказывается много меньше, чем резонансная область  $[(k_x - k_i)/k_i] \sim (\Delta\varphi)^2, \rho_f v_f / \rho v_R$ , т. е. «все» плоские волны, которые вносят основной вклад в волновое поле, испытывают резонанс. В свою очередь условие  $\chi_f \approx \chi$ , т. е.  $k_{ik}' \approx k_i'$ , обеспечивает, согласно (15), (19), резкий минимум коэффициента отражения плоских волн  $R$  и соответственно резкий максимум коэффициента прохождения  $T$  в указанной резонансной области.

В случае, представленном на рис. 4,  $\mu = 0$ , а параметры  $\chi, \chi_f$  при  $\omega = 50$  МГц,  $w = 2.5$  мм равны:  $\chi/(\Delta\varphi)^2 \approx 0.0012$  (град) $^{-2}$ ,  $\chi_f \approx 0.40$ , т. е. выбрана «промежуточная» ситуация, когда значение  $\chi_f$  по порядку величины близко к единице. Видно, что распределение амплитуды отраженного пучка имеет двугорбую форму. Для  $\Delta\varphi = 20^\circ$  имеем  $\chi \approx \chi_f$ , при этом максимумы амплитуд отраженного и преломленного пучков на рис. 4 оказываются одного порядка. При этом величина  $I_r$ , характеризующая эффективность трансформации падающего пучка в преломленный,<sup>6</sup> имеет значение  $\approx 0.8$ .

Рассмотрим интенсивность  $|u_s|$  волнового поля в подложке вблизи поверхности. Поскольку, согласно (30), (31), всегда  $|u_1 + u_2| \gg |u_t|$  при  $|\Delta\varphi| \ll 1$  и коэффициентах  $C_t/C_s, (\eta/\chi)^{1/2}$ , по порядку величины не превышающих единицы, то  $|u_s| \approx |u_1 + u_2|$ . Выражение для  $|u_1 + u_2|$  отличается от  $|u_t|$  лишь множителем, не зависящим от координаты, поэтому координата  $X_{max}$  максимума интенсивности  $|u_s|$  задается формулами (40) или (41), а соответствующее значение  $|u_s|_{max}$  равно

<sup>6</sup> Легко видеть, что величину  $I_r$  можно также записать в виде отношения нормальных компонент средних потоков энергии в падающем и отраженном пучках:  $I_r = \langle P_{nr} \rangle / \langle P_{ni} \rangle$ , где  $\langle P_{nr} \rangle + \langle P_{ni} \rangle = \langle P_{nt} \rangle$ ,

$\langle \dots \rangle \equiv \int dx$ .

$$|u_s|_{\max} / C_s \approx \begin{cases} 2\kappa_f & \text{при } |\gamma| \gg 1, \\ \kappa_f / \sqrt{\pi} [(x_f + \kappa)^2 + \mu^2]^{1/2} & \text{при } |\gamma| \gg 1. \end{cases} \quad (46)$$

Согласно (46),  $|u_s|_{\max} / C_s \sim 1$  при  $\kappa_f \gg 1$ ,  $\kappa_f \gg \kappa$ ,  $|\mu|$ . При уходе из резонансных условий, т. е. при  $\kappa$  или  $|\mu| \gg 1$ ,  $\kappa_f$ , интенсивность поверхностного волнового поля падает.

#### 4. Обсуждение результатов

В настоящей работе исследован эффект переключения полного отражения звука в полное прохождение на границе жидкость—подложка при малой разориентации плоскости падения относительно плоскости симметрии упругих свойств подложки, причем звук может падать на границу раздела как из жидкости, так и из подложки. Этот эффект обусловлен резонансом с псевдоповерхностной собственной модой, характеризующейся двойным оттеканьем (в жидкость и в подложку) и порождаемой «быстрым» рэлеевским волновым решением ( $v_R > v_L$ ; рис. 1) для свободной границы подложки. Как обычно, резонанс с оттекающей модой вызывает нарастание амплитуды поверхностного волнового поля в подложке. Проанализирована критическая зависимость данного явления от величины малого параметра  $\rho_f v_f / \rho v_R$ , от угла падения и ориентации плоскости падения, а также от частоты и ширины падающего пучка.

Отметим, что обсуждавшиеся в работе условия (в частности, плоскость падения расположена вблизи упругой симметрии подложки, а возможные значения угла падения заведомо ограничены неравенством  $v_L < v < v_L$ ; рис. 1) обеспечивают проявление резонансной трансформации отраженной волны в преломленную в наиболее яркой форме, когда при малой вариации параметров полное отражение сменяется полным прохождением. В принципе резкие изменения коэффициентов отражения и преломления на границе жидкость—подложка могут происходить в окрестности любых ветвей оттекающих волновых решений, существовавших на свободной поверхности подложки в отсутствие жидкости — в том числе и таких, существование которых не связано с выполнением указанных выше условий (см. примеры в [3, 4]). Рассмотрим более общий случай, когда тангенциальная проекция волнового вектора  $k_x$  оказывается близка к действительной части волнового вектора  $k_f + ik'_f$  произвольной оттекающей волны, удовлетворявшей в отсутствие жидкости условию свободной поверхности подложки ( $k_f$  и  $k'_f$  — функции ориентации  $\varphi$  сагиттальной плоскости, причем  $0 < k'_f / k_f \ll 1$ ,  $v_L < v_f = \omega / k_f < v_L, v_f$ ). Исходя из соотношения (13) и используя результаты работы [8], можно получить следующее приближенное выражение для коэффициента отражения:

$$R(k_x, \varphi) \approx i \frac{k_x - k_{f1} - i(k'_f - k'_{f1})}{k_x - k_{f2} - i(k'_f + k'_{f1})}, \quad (47)$$

где  $k_{f1} = k_f - \beta \rho_f v_f / \rho v_f$ ,  $k_{f2} = k_f + \beta \rho_f v_f / \rho v_f$ ,  $k'_{f1} / k_f = \bar{\nu} \rho_f v_f / \rho v_f$ ;  $\beta$ ,  $\bar{\nu}$  — некоторые константы, причем  $\bar{\nu} > 0$ . Заметим, что в случае существования на ветви оттекающих волн  $k_f(\varphi) + k'_f(\varphi)$  «чистой» точки  $\varphi_0$ , в которой  $k'_f(\varphi_0) = 0$ , зависимость  $k'_f(\varphi) \sim (\Delta\varphi)^2$  при малых  $\Delta\varphi \equiv (\varphi - \varphi_0)$  справедлива для любой анизотропии [8]. Из (47) видно, что при достаточно малых значениях параметра  $\rho_f v_f / \rho v_f$  зависимость коэффициента отражения от угла падения для определенных ориентаций  $\varphi$  плоскости падения имеет резкий минимум; в частности, величина  $R$  в точке минимума  $k_x = k_f$  обращается в нуль, если  $k'_f = k'_{f1}$ .



При этом ясно, что, вообще говоря, это условие вполне может выполняться для «обычных» жидкостей (т. е. не только для жидкого азота и жидкого гелия, рассматривавшихся в настоящей работе при численных расчетах).

Резонансные эффекты аналогичного типа могут возникать, конечно, и при отражении от границы раздела твердых тел. Теория резонансного отражения для пьезоэлектрических биокристаллов с произвольной анизотропией развита в [9], а примеры эффекта трансформации полного отражения в полное прохождение рассмотрены в [18, 19] соответственно на границе гексагональных пьезоэлектриков, жестко связанных или разделенных щелью, и на границе между 180°-сегнетоэлектрическими доменами.

Авторы признательны С. В. Кара-Мурза за полезное обсуждение.

## ПРИЛОЖЕНИЕ

Рассмотрим границу раздела жидкость—кристалл и допустим, что саггитальная плоскость  $\{m, n\}$  совпадает с плоскостью симметрии подложки или ортогональна оси симметрии четного порядка, причем внешняя полость рефракции в подложке отвечает горизонтально поляризованной моде (рис. 1). Тогда в силу «отщепления» этой моды локализованная на границе волна типа волны Стоунли поляризована в саггитальной плоскости и является трехпарциальной

$$\mathbf{u} = e^{ik_x(x-vt)} \begin{cases} b_0 A_0 e^{ik_x p_0 y}, & y > 0, \\ \sum_{\alpha=1}^2 b_\alpha A_\alpha e^{ik_x p_\alpha y}, & y < 0, \end{cases} \quad (48)$$

где  $p_0 = i(1 - v^2/v_f^2)^{1/2}$ ,  $\text{Im}(p_\alpha) < 0$ . Скорость данной волны  $v < v_f, v_L$  (рис. 1) определяется дисперсионным уравнением

$$Q(v) \equiv [\tilde{\xi}_0 \tilde{\xi}_1 \tilde{\xi}_2] = 0, \quad (49)$$

вытекающим из граничных условий

$$b_0 \tilde{\xi}_0 = \sum_{\alpha=1}^2 b_\alpha \tilde{\xi}_\alpha. \quad (50)$$

где в соответствии с (7)

$$\tilde{\xi}_0 = \begin{pmatrix} \mathcal{A}_{0y} \\ 0 \\ \mathcal{L}_0 \end{pmatrix}, \quad \tilde{\xi}_\alpha = \begin{pmatrix} A_{\alpha y} \\ L_{\alpha x} \\ L_{\alpha y} \end{pmatrix}, \quad \alpha = 1, 2. \quad (51)$$

Квадратные скобки в (49) обозначают детерминант  $(3 \times 3)$ -матрицы, которая составлена из компонент векторов, заключенных в эти скобки. Параметры  $\mathcal{A}_{0y}$ ,  $\mathcal{L}_0$  поверхностной волновой моды в жидкости вычисляются по формуле (3), в которой величина  $p_i$  заменяется на  $p_0$ .

Несмотря на то что векторы  $\tilde{\xi}_0$ ,  $\tilde{\xi}_\alpha$  являются комплексными, уравнение (49) при  $v < v_f, v_L$  сводится к одному действительному уравнению [20]. Это утверждение можно доказать следующим образом. Для параметров  $A_\alpha$ ,  $L_\alpha$  волновых мод  $\alpha = 1, 2$ , распространяющихся в симметричной плоскости подложки и поляризованных в этой плоскости, известные соотношения полноты [6] с учетом

«отщепления» горизонтально поляризованной моды записываются при  $\nu < \nu_L$  в виде

$$\sum_{\alpha=1}^2 \begin{pmatrix} L_{\alpha x} \\ L_{\alpha y} \end{pmatrix} \cdot \begin{pmatrix} L_{\alpha x} \\ L_{\alpha y} \end{pmatrix} + \text{к. с.} = 0, \quad \sum_{\alpha=1}^2 \begin{pmatrix} A_{\alpha x} \\ A_{\alpha y} \end{pmatrix} \cdot \begin{pmatrix} A_{\alpha x} \\ A_{\alpha y} \end{pmatrix} + \text{к. с.} = 0,$$

$$\sum_{\alpha=1}^2 \begin{pmatrix} A_{\alpha x} \\ A_{\alpha y} \end{pmatrix} \cdot \begin{pmatrix} L_{\alpha x} \\ L_{\alpha y} \end{pmatrix} + \text{к. с.} = 0, \quad (52)$$

где точка обозначает диадное произведение, к. с. — комплексно-сопряженные члены. Из (50), а также из выражений для величин  $\mathcal{A}_{0y}$ ,  $\mathcal{L}_0$ , входящих в определение вектора  $\tilde{\xi}_0$  следует, что матрица  $\hat{Z} \equiv \sum_{\alpha=1}^2 \tilde{\xi}_\alpha \cdot \tilde{\xi}_\alpha - \tilde{\xi}_0 \cdot \tilde{\xi}_0$  при  $\nu < \nu_r$ ,  $\nu_L$  удовлетворяет соотношению  $\hat{Z} = -\hat{Z}^*$ , т. е.  $\text{Re}(\hat{Z}) = 0$  и  $\text{Im}(\det \hat{Z}) = 0$ . С другой стороны, легко видеть, что  $Q^2(\nu) \equiv (Q' + iQ'')^2 = -\det \hat{Z}$ , следовательно,  $\text{Im}[Q^2(\nu)] = 0$ . Отсюда вытекает искомое утверждение, поскольку

$$\text{либо } Q'(\nu) \equiv 0,$$

$$\text{либо } Q''(\nu) \equiv 0. \quad (53)$$

Представим теперь величину  $Q(\nu)$  с помощью соотношений (49), (51) в виде

$$Q(\nu) = \frac{1}{\nu(2\rho_r\rho_0)^{1/2}} [p_0 D_1 + (\rho_r/\rho) D_2], \quad (54)$$

где  $D_1$ ,  $D_2$  — детерминанты  $(2 \times 2)$ -матриц

$$D_1 = [l_1 l_2], \quad D_2 = \rho \nu^2 [g_1 g_2]; \quad l_\alpha \equiv \begin{pmatrix} L_{\alpha x} \\ L_{\alpha y} \end{pmatrix}, \quad g_\alpha \equiv \begin{pmatrix} A_{\alpha x} \\ A_{\alpha y} \end{pmatrix}, \quad \alpha = 1, 2. \quad (55)$$

Заметим, что для  $\nu < \nu_L$  в соответствии с (52) выполняется равенство  $\sum_{\alpha=1}^2 g_\alpha \cdot g_\alpha + \text{к. с.} = 0$ . Используя тождества  $[l_1 l_2]^2 = \det \left( \sum_{\alpha=1}^2 l_\alpha \cdot l_\alpha \right)$ ,

$[g_1 g_2]^2 = \det \left( \sum_{\alpha=1}^2 g_\alpha \cdot g_\alpha \right)$ , получаем

$$\text{Re}[D_j^2(\nu)] = (D_j'^2 - D_j''^2) = 0, \quad j = 1, 2. \quad (56)$$

Учитывая свойство (53) и принимая во внимание, что для  $\nu < \nu_r$  величина  $\rho_0$  является чисто мнимой, получаем  $D_1' = D_1''$ ,  $D_2' = -D_2''$  при  $Q' \equiv 0$ ;  $D_1' = -D_1''$ ,  $D_2' = D_2''$  при  $Q'' \equiv 0$ . Следовательно, для функций  $D_1$ ,  $D_2$  справедливо следующее представление:

$$D_1(\nu) = e^{i\psi} d_1(\nu), \quad D_2(\nu) = e^{i\psi} id_2(\nu), \quad (57)$$

где  $d_1, d_2$  — действительные функции, а  $\Psi$  — постоянная фаза (равная  $\pm\pi/4$ ). Отсюда вытекает, что определенной соотношением (9) функция  $F(v) = D_1/D_2$  является чисто мнимой.

Выражения (57) получены при условии  $v < v_f, v_L$ . Однако, согласно (53), функции  $D_1, D_2$  никак не зависят от параметров жидкости, контактирующей с твердым телом. Таким образом,  $F(v)$  — чисто мнимая функция для любого значения скорости  $v < v_L$ , независимо от соотношения  $v$  и  $v_f$ .

#### Список литературы

- [1] Бреховских Л. М., Годин О. А. Акустика слоистых сред. М.: Наука, 1989.
- [2] Bertoni H. L., Tamir T. // J. Appl. Phys. 1973. V. 2. P. 157.
- [3] Atalar A. // J. Acoust. Soc. Am. 1983. V. 73. P. 435.
- [4] Arikan O., Telatar E., Atalar A. // J. Acoust. Soc. Am. 1989. V. 85. P. 1.
- [5] Qu J., Achenbach J. D., Roberts R. A. // IEEE Trans. Ultrasonics, Ferroelectrics and Frequency Control. 1989. V. 36. P. 280.
- [6] Stroh A. N. // J. Math. Phys. 1962. V. 41. P. 77.
- [7] Альшиц В. И., Даринский А. Н., Котовски Р. К., Шувалов А. Л. // Кристаллография. 1988. Т. 33. С. 541.
- [8] Alshits V. I., Lothe J. // Wave Motion. 1981. V. 3. P. 297.
- [9] Альшиц В. И., Даринский А. Н., Шувалов А. Л. // Кристаллография. 1992. Т. 37.
- [10] Лоте Е., Альшиц В. И. // Кристаллография. 1977. Т. 22. С. 906.
- [11] Волнянский М. Д., Гржегоржевский О. А. // Кристаллография. 1977. Т. 22. С. 406.
- [12] Волнянский М. Д., Гржегоржевский О. А. // ФТТ. 1976. Т. 18. № 3. С. 854.
- [13] Chiang T. C., Dumas J., Shen Y. R. // Solid State Commun. 1978. V. 28. P. 173.
- [14] Искендер-Заде З. А., Фараджев В. Д., Агаев А. И. // ФТТ. 1977. Т. 19. № 3. С. 851.
- [15] Boekholt M., Harzer J. V., Hillebrands B., Cüntherodt G. // Physica C. 1991. V. 179. P. 101.
- [16] Hart S. // Phys. Stat. Sol. 1973. V. 17. P. K107.
- [17] Арапов А. В., Гончаров В. С., Яковкин И. Б. // Акуст. журн. 1986. Т. 32. С. 238.
- [18] Альшиц В. И., Даринский А. Н., Шувалов А. Л. // Материалы XI Всесоюзной акустической конференции. М., 1991. Секция В. С. 59.
- [19] Alshits V. I., Darinskii A. N., Shuvalov A. L. // Ferroelectrics. 1992 (in press).
- [20] Barnett D. M., Gavazza S. D., Lothe J. // Proc. Roy. Soc. Lond. 1988. V. 415. P. 389.

Институт кристаллографии РАН  
Москва

Поступило в Редакцию  
12 марта 1992 г.